# Organización del Computador II

Segundo Cuatrimestre de 2009

Departamento de Computación Facultad de Ciencias Exactas y Naturales Universidad de Buenos Aires

# Trabajo Práctico 2

Procesamiento de imágenes para la detección de bordes en lenguaje ensamblador

# Grupo XOR

Integrante LU		Correo electrónico				
Daniel Grosso	694/08	dgrosso@gmail.com				
Nicolás Varaschin	187/08	nicovaras22@gmail.com				
Mariano De Sousa	389/08	marian_sabianaa@hotmail.com				

# Índice

1.	Intr	oducción	3
2.	Des	arrollo	4
3.	Disc	cusión	6
	3.1.	Estructura básica para Sobel, Prewitt y Frei-Chen	6
	3.2.	Sobel	7
		3.2.1. Procesamiento en x	7
		3.2.2. Procesamiento en y	7
	3.3.	Prewitt	8
		3.3.1. Procesamiento en x	8
		3.3.2. Procesamiento en y	8
	3.4.	Frei-Chen	8
		3.4.1. Procesamiento en x	9
		3.4.2. Procesamiento en y	10
	3.5.	Roberts	10
		3.5.1. Procesamiento en x	10
		3.5.2. Procesamiento en y	11
	3.6.	Medición de Performance	11
4.	Con	clusiones	12
5.	Mar	nual de usuario	13
	5.1.	Ayuda rápida	13
	5.2.	Descripción	13
	5.3.	Instrucciones de compilación	13

# 1. Introducción

En el presente trabajo, nos proponemos mejorar el programa de procesamiento de bordes realizado en el trabajo práctico anterior. La mejora sustancial consiste en utilizar el modelo de instrucciones SIMD con instrucciones SSE y diversas optimizaciones en el algoritmo para lograr un mejor rendimiento del programa.

A los algoritmos de Roberts, Prewitt y Sobel, que ya implementamos en el trabajo anterior, se le sumara el algoritmo de Frei-Chen. Para ello, asumiendo un ancho de imagen múltiplo de 16 píxeles, se procesaran en paralelo 14 píxeles en cada ciclo del programa logrando una considerable mejora en la performance.

El trabajo está orientado fuertemente a lograr velocidad, sacrificando necesariamente legibilidad del código, modularización y simpleza para cumplir el objetivo. Luego el resultado será comparado con previas implementaciones para mostrar las diferencias de rendimiento de cada uno.

La interfaz con el usuario, escrita en lenguaje C, será similar a la del trabajo anterior y se detallará la nueva implementación en ensamblador en las siguientes secciones.

# 2. Desarrollo

El desarrollo de este trabajo se basó en modificar la implementación anterior con el fin de alcanzar los objetivos. Para lograr una mejor performance usando instrucciones del set SSE se propusieron diversos algoritmos posibles, siendo el último de los que describimos a continuación el elegido para la versión final. En todo momento se asumió un ancho de imagen múltiplo de 16 píxeles y cada algoritmo fue pensado independientemente de la matríz a usar.

El primer algoritmo pensado agarraba 16 píxeles, los 16 píxeles por encima y los 16 píxeles por debajo de esos de la siguiente manera:

xmmO	X	X	X	X	X	X	X	X	X	X	X	X	X	X	X	X
xmm1	х	p	p	p	p	p	p	p	p	p	p	p	p	p	p	x
xmm2	X	x	х	х	х	х	х	х	x	х	х	х	x	х	X	x

Sólo los píxeles indicados con una  ${\tt p}$  se procesaban, usando como información adicional los que están marcados con una  ${\tt x}.$ 

Luego la matríz correspondiente se cargaba varias veces en otros registros xmm, de tal forma que pudieran ser procesados los 14 píxeles buscados en un solo ciclo del bucle principal. Luego, como la imagen es múltiplo de 16 píxeles, se avanzaba esa cantidad para seguir procesando. Esto creó un problema insalvable en el algoritmo: el último píxel de un ciclo y el primero del siguiente ciclo no se procesaban. Se pensó en salvar este problema manipulando esos dos píxeles con registros generales, pero la complejidad del algoritmo aumentaría y se optó por pensar un método más eficaz.

Un segundo algoritmo se basaba en cargar 16 píxeles a procesar, siendo 8 pertenecientes a una fila y los 8 restantes a la fila siguiente, cargando a su vez toda la información necesaria para procesar los dos conjuntos de 8 píxeles. La ventaja de este método está en la simplificación de cálculos, ya que al tratarse de bytes sin signo que tienen que ser multiplicados por algún posible valor signado en la matríz del operador, se tiene que extender el byte a word. Entonces entrando 8 words en cada registro xmm, tiene sentido procesar de a 8 píxeles. El problema de este método era la ineficiencia en accesos a memoria, y que al tener que procesar de a dos filas al mismo tiempo, el alto de la imagen tenia que ser múltiplo de dos, o manejar el caso impar de otra forma, y esto no era conveniente.

El tercer algoritmo volvió a la idea del primero, procesar de a 14 píxeles. La diferencia está en que procesaba 14 píxeles del principio de la fila y a la vez, 14 del final de la fila y en vez de avanzar de a 16 píxeles, avanzaba de a 14 tanto desde el comienzo hacia el final de la fila como del final hacia el comienzo y cuando llegaba a la mitad de la fila, pasaba a la siguiente. La principal ventaja es que nos librábamos del problema de saber cuando terminó una fila, ya que, recorriendo de ambos lados a la vez, a lo sumo se procesarián dos veces algunos píxeles del medio. El problema fue que este algoritmo necesitaba una mayor cantidad de registros e implicaba un difícil manejo de punteros.

El algoritmo final es una modificación del anterior: se procesan 14 píxeles y

se avanza de a 14 píxeles de izquierda a derecha solamente, y cuando el ancho restante de la imagen es menor que 14 píxeles, se procesan 16 de derecha a izquierda. Otra vez, a lo sumo se procesarán dos veces algunos píxeles del final, pero se justifica, ya que cuesta mas ciclos revisar el ancho y procesar esos píxeles restantes de alguna otra forma.

En la siguiente sección se detalla el funcionamiento del algoritmo junto con diferentes problemas que surgieron al programarlo.

# 3. Discusión

El código de este trabajo utiliza las funciones en lenguaje  $\tt C$  del trabajo anterior y nuevas funciones en assembler. El trabajo en assembler está separado en un archivo por filtro a aplicar y un archivo para las macros en común, utilizadas por los filtros.

A continuación se detallara lo escrito y pensado para los diferentes algoritmos, que fueron ajustados para mejor rendimiento según la matríz utilizada. Antes de empezar se definen nombres específicos (macros) para cada registro xmm, para facilitar la lectura del código. Los nombres definidos son: src1, srch que contendrán las líneas leídas de la imagen original; acul, acuh que acumularán los resultados parciales del cálculo; y cuatro registros temporales tmp1, tmp2, tmp3 y tmp4 (en el caso del Frei-Chen el cuarto registro temporal se renombra a sqrt2).

Los algoritmos siguen una línea general, empiezan y terminan con lo definido en la convención C, se definen nombres de variables para los parámetros y se usan los registros generales de la siguiente manera:

eax: Almacena las variables xOrder e yOrder que indican sobre qué de-

rivada realizar el procesamiento.

ebx: Contador para las filas.

ecx: Contador para las columnas.

edx: Ancho de la imagen.

esi: Puntero a la imagen fuente.

edi: Puntero a la imagen destino.

Luego para cada fila de la imagen se realiza el procesamiento sobre la derivada de x o de y según sea necesario procesando de a 14 píxeles, y antes de terminar la fila se revisa si se pueden calcular exactamente 14 píxeles, sino se retroceden los punteros para poder lograrlo y se pasa a la siguiente fila.

#### 3.1. Estructura básica para Sobel, Prewitt y Frei-Chen

Los algoritmos de Sobel, Prewitt y Frei-Chen están estructurados de la misma manera. Cada uno tiene definidas sus propias macros denominadas procesarLineaX, procesarLineaY, calcularX y calcularY. De esta manera, el código de los tres filtros es bastante similar y para comprenderlos basta con entender la estructura básica de uno de ellos y luego los detalles particulares. La idea general del procesamiento se basa en las macros procesarLineaX/Y. Cada macro se encarga de leer 16 píxeles, desempaquetarlos, hacer el procesamiento de los 14 píxeles procesables según la línea correspondiente de la matríz, y sumar el resultado de la operación en dos acumuladores. Las macros calcularX y calcularY son las encargadas de efectuar el procesamiento en paralelo de 6 píxeles convertidos a word. Cada algoritmo tiene sus versiones de ambas macros. Como estas macros no procesan todos los píxeles necesarios por limitaciones del método, cada algoritmo calcula individualmente los 2 píxeles centrales de los 16 levantados. Por último, se empaquetan los datos a bytes, se guardan en la imagen resultante y

se avanza en la imagen hasta completar el procesamiento. A continuación serán explicados los diferentes algoritmos de paralelización utilizados en cada caso.

#### 3.2. Sobel

#### 3.2.1. Procesamiento en x

src	a b	c d	e f g h	parámetro
tmp1	a b	c d	e f g h	copia src a tmp1
tmp1	c d	e f	g h 0 0	$shift 2 words \leftarrow$
tmp1	c-a d-b	e-c f-d	g-e h-f -g -	resta src a tmp1

Los valores intermedios se acumulan en acul y acuh. Una vez calculados, se procesan individualmente y aprovechando los resultados intermedios obtenidos, los dos píxeles centrales de los 14 píxeles originales que debían ser procesados ya que este método impide procesarlos en paralelo.

#### 3.2.2. Procesamiento en y

	src	a b c d e f g h	parámetro
(1)	tmp1	a b c d e f g h	copia src a tmp1
(2)	tmp1	b c d e f g h 0	$shift 1 word \leftarrow$
(3)	tmp1	2b 2c 2d 2e 2f 2g 2h 0	duplica tmp1
(4)	tmp1	a+2b   b+2c   c+2d   d+2e   e+2f   f+2g   g+2h   h	suma src a tmp1
(5)	tmp2	a b c d e f g h	copia src a tmp2
(6)	tmp2	c d e f g h 0 0	$shift \ 2 \ words \leftarrow$
(7)	tmp1	a+2b+c     b+2c+d     c+2d+e     d+2e+f     e+2f+g     f+2g+h     g+2h     h	suma tmp2 a tmp1

Luego de obtener el resultado mostrado en el esquema, se acumula el resultado de calcularY restando (en caso de estar calculando la primer línea de la matríz) o sumando (si se trata de la tercera). Esto se debe a que la matríz es igual en ambas líneas, salvo porque la primer línea es negativa. Como la matríz contiene sólo ceros en la segunda línea, no es necesario realizar los cálculos.

Al igual que para Sobel en x, después de calcular los resultados intermedios, se procesan individualmente los 2 píxeles faltantes.

# 3.3. Prewitt

Este algoritmo es casi idéntico al anterior. El único cambio general es que, luego de procesar las líneas pero antes de empaquetar a *bytes*, se calcula el valor absoluto de los acumuladores.

#### 3.3.1. Procesamiento en x

El cálculo de Prewitt en x es idéntico al de la primer línea de Sobel. Basta con no cambiar de línea y realizar los mismos pasos para obtener el resultado correcto.

# 3.3.2. Procesamiento en y

El cálculo de *Prewitt* en y es similar al de *Sobel*. El único cambio en el algoritmo es que no se efectúa el paso (3). es decir, no se duplica el valor de la segunda columna de src sino que se suma directamente.

#### 3.4. Frei-Chen

La matríz de Frei-Chen contiene números reales además de números enteros. Para hacer de forma más eficiente el algoritmo, primero se precalcula  $\sqrt{2}$  en un registro temporal (sqrt2) mediante la instrucción sqrtps (Square Root Parallel Single) ya que es el único número real presente en la matríz.

sqrt2 
$$\sqrt{2}$$
  $\sqrt{2}$   $\sqrt{2}$   $\sqrt{2}$  raices de 2

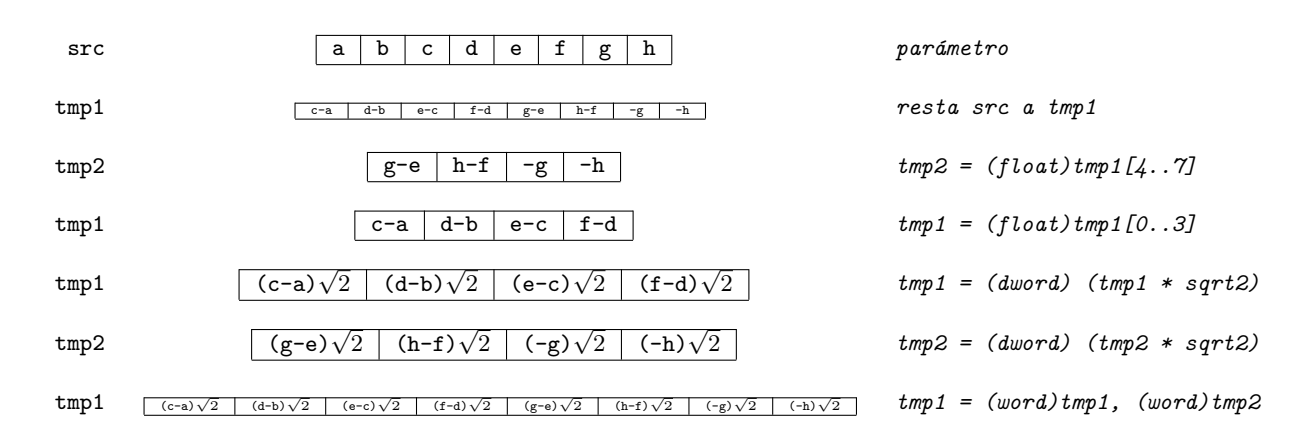
Al tener que multiplicar por un número real, los cálculos intermedios son convertidos a *float*. Por limitaciones del set de instrucciones IA-32, a la hora de realizar la conversión, se extienden los enteros de 16 *bits* a 32 *bits*. Para realizar la extensión signada, se utilizó la instrucción pcmpgtw junto con punpckhwd y punpcklwd comparando el registro a extender con un registro en 0 como se muestra en el siguiente ejemplo:

tmp3	0 0 0 0 0 0 0 0	tmp3 = 0
tmp1	-5     123     -145     100     66     -93     80     3	tmp1 en words
tmp2	-5     123     -145     100     66     -93     80     3	tmp2 = tmp1
tmp3	OxFFFF     0     0     0     0xFFFF     0     0	pcmpgtw tmp2, tmp3
tmp1	-5 123 -145 100	punpcklwd tmp1, tmp3
tmp2	66   -93   80   3	punpckhwd tmp2, tmp3

Al igual que en *Prewitt*, luego de procesar las líneas pero antes de empaquetar a *bytes*, se calcula el valor absoluto de los acumuladores.

#### 3.4.1. Procesamiento en x

El algoritmo realizado para Frei-Chen en x es similar al de Sobel. En este caso, la diferencia reside únicamente en el cálculo de la segunda línea de la matríz (  $-\sqrt{2}$  0  $\sqrt{2}$  ). Para calcular esta línea, se aprovecha la propiedad distributiva de la multiplicación respecto de la suma y la resta, calculando primero la resta en enteros, luego convirtiendo a float y multiplicando el resultado por  $\sqrt{2}$ . Una vez hechas las operaciones, se convierte el resultado de float a dword, para finalmente convertirlo a word.



Luego el algoritmo continúa igual que el algoritmo de *Sobel*, salvando los cálculos individuales de los píxeles centrales que vuelve a realizar un procedimiento similar al ya mostrado.

#### 3.4.2. Procesamiento en y

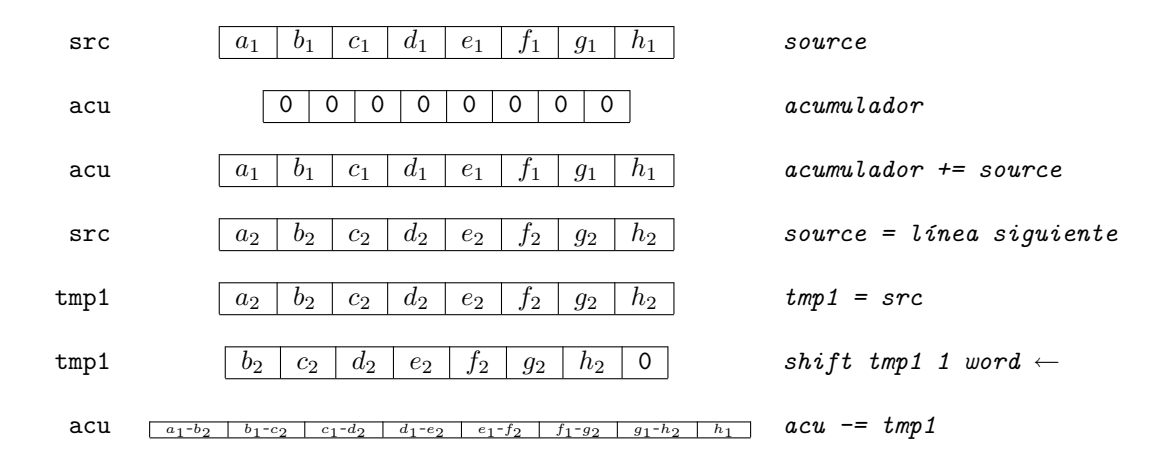
Siguiendo la idea de la implementación de Sobel, el algoritmo para Frei-Chen en y, se diferencia en la segunda columna de la matríz, que está multiplicada por  $\sqrt{2}$  en lugar de por 2. La única diferencia con Sobel se va a encontrar en que se necesita realizar la multiplicación en punto flotante en cada llamada a la macro calculary. Es decir, se reemplaza el paso (3) del algoritmo de Sobel por la conversión a punto flotante y la multiplicación por  $\sqrt{2}$ . La forma de multiplicar es igual a la utilizada para Frei-Chen en x y descripta anteriormente.

#### 3.5. Roberts

La implementación del operador de *Roberts*, se basa en la explicada anteriormente para *Sobel*, pero es más simple y concisa, ya que la matríz es de 2x2. La principal ventaja de este tamaño de matríz es que permite calcular de a 15 píxeles. Al igual que en el algoritmo de *Prewitt y Frei-Chen*, luego de procesar las líneas pero antes de empaquetar a *bytes*, se calcula el valor absoluto de los acumuladores.

#### 3.5.1. Procesamiento en x

La macro RobertsX obtiene 16 píxeles, los desempaqueta a words y los suma a los acumuladores directamente, ya que la primer línea de la matríz de Roberts es  $\boxed{1}$   $\boxed{0}$ . Luego avanza una linea, desempaqueta los 16 nuevos píxeles, shiftea una word a la derecha y se restan a los ya acumulados, logrando así el procesamiento de la segunda línea de la matríz buscada( $\boxed{0}$   $\boxed{-1}$ ). El siguiente esquema muestra el procesamiento de un fragmento de Roberts suponiendo el acumulador vacío al iniciar:



# 3.5.2. Procesamiento en y

La macro Roberts Y funciona de igual manera, sólo que se invierte el órden del procesamiento, es decir, el cálculo que se hacía en Roberts X para la primer línea, ahora se hace para la segunda y viceversa. Jústamente, esto se debe a que la matríz de Roberts en y es exactamente espejada en filas que la matríz de Roberts en x.

# 3.6. Medición de Performance

La siguiente tabla muestra la cantidad de ciclos mínima y promedio de cada implementación de los filtros, obtenidos de una muestra de 1000 ejecuciones de cada uno sobre la imagen de prueba lena.bmp:

Implementación	Ciclos de reloj						
Implementación	Mínimo	Promedio					
Sobel							
Assembler	58.720.540	60.010.675					
С	393.586.848	416.838.429					
OpenCv	9.338.589	9.797.886					
SSE	7.845.504	7.991.641					
Roberts							
Assembler	34.714.238	42.746.947					
C	320.676.453	336.808.912					
SSE	1.749.548	1.915.205					
Prewitt							
Assembler	60.428.397	63.629.648					
С	634.337.521	664.132.063					
SSE	8.024.988	8.276.912					

# 4. Conclusiones

Con respecto al trabajo actual, se presentó un método efectivo aun más eficiente que el expuesto en el trabajo anterior, ya que el trabajo mediante SSE permitió procesar gran cantidad de datos en paralelo, crucial para este tipo de aplicaciones.

Es notable la diferencia entre las diferentes implementaciones surgida al comparar los tiempos. Ya en previo trabajo puede verse que la implementación en lenguaje C es la más lenta de todas, seguida de la implementación en ensamblador y, siendo mucho mas rápida, está la implementación de la librería openCv. Pero este nuevo algoritmo es varias veces más rápido que el de la librería, demostrando que el trabajo de hacer un algoritmo más complejo que usa instrucciones SIMD para lograr mejoras en la performance, está perfectamente justificado.

Para concluir, con el presente trabajo se muestra una herramienta de muy alto rendimiento de realce de bordes en imágenes, la cual puede ser útil a gran escala por sus prestaciones o bien formar parte de otro tipo de proyecto, por ejemplo, realce de bordes en video en tiempo real.

# 5. Manual de usuario

# 5.1. Ayuda rápida

#### Uso:

./bordes [opciones] [archivo]

#### **Opciones:**

```
-r# Aplica el operador #
```

-g Modo gráfico

--nosse Deshabilita las optimizaciones de SSE

--time # Realiza # repeticiones del operador y muestra información de performance

#### Operadores posibles:

- 1: Operador de Roberts
- 2: Operador de Prewitt
- 3: Operador de Sobel derivando por X
- 4: Operador de Sobel derivando por Y
- 5: Operador de Sobel derivando por X e Y
- 6: Operador de Frei-Chen

Si no se especifica un archivo de entrada, se usará lena.bmp

# 5.2. Descripción

El programa se puede invocar en modo gráfico (-g) o directo (-r#) y opcionalmente una imagen. En modo directo, se leerá una imagen pasada como parámetro o la imagen por defecto (lena.bmp), se le aplicará el filtro seleccionado y se guardará con el nombre original mas un postfijo que indica que filtro fue aplicado y con la extensión original. En modo gráfico, se puede abrir una imagen y aplicar los filtros, con las teclas del 1 al 6, restaurar la imagen en escala de grises con la tecla 0, guardar el resultado actual con la tecla s y deshabilitar las optimizaciones con la tecla o. Se puede salir de este modo con la tecla ESCAPE.

Tipos de imágenes soportados:

- Windows bitmaps BMP, DIB
- JPEG files JPEG, JPG, JPE
- Portable Network Graphics PNG
- Portable image format PBM, PGM, PPM
- Sun rasters SR, RAS
- TIFF files TIFF, TIF

(extraído de la documentación de la librería OpenCv)

#### 5.3. Instrucciones de compilación

Dirigirse a la carpeta del código (src/) y ejecutar el comando make.